

## É.M.V - CHAMP MAGNÉTOSTATIQUE

### 1. Densité de courant

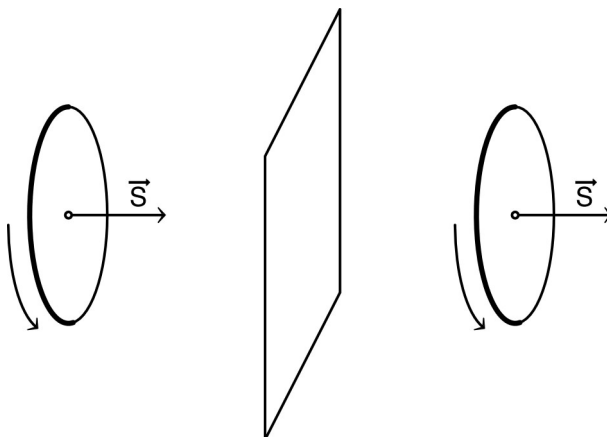
- On se limite ici aux champs magnétostatiques créés par des courants permanents (pour des circuits immobiles parcourus par des courants continus).
- De même qu'on décrit la répartition des charges par une “densité volumique de charge” :  $\rho = \frac{dQ}{dV}$ , on peut décrire la “répartition” du courant à travers la section d'un conducteur par une “densité de courant” :  $\vec{j} = \sum \rho_i \langle \vec{v}_i \rangle$  (somme sur types de porteurs de charge) telle que le courant à travers la section d'un conducteur soit :  $I = \iint \vec{j} \cdot d\vec{S}$ .
- ◊ remarque : on ajoute constructivement les contributions des porteurs de charge positifs et négatifs.
- On se limite ici à l'étude de circuits “filiformes” (on ignore la répartition du courant, donc l'étude est moins approfondie que celle de l'électrostatique).

### 2. Loi de Biot et Savart pour un circuit filiforme

- Pour un circuit (fermé) filiforme orienté  $C$ , parcouru par un courant  $I$  constant (on oriente le circuit dans le sens du courant), le champ magnétique créé en un point  $M$  peut s'écrire (loi de Biot et Savart) :  $\vec{B} = \frac{\mu_0}{4\pi} \int_C \frac{I \vec{d\ell} \times \vec{u}_r}{r^2}$

avec  $d\vec{\ell} = d\vec{OP}$  “élément infinitésimal du circuit” ;  $r = PM$  ;  $\vec{u}_r = \frac{\vec{PM}}{r}$  ;  
 $\mu_0 = \frac{1}{\epsilon_0 c^2} \approx 4\pi \cdot 10^{-7} \text{ H.m}^{-1}$  “perméabilité magnétique du vide”.

- À cause du produit vectoriel, la contribution  $d\vec{B} = \frac{\mu_0}{4\pi} \frac{I \vec{d\ell} \times \vec{u}_r}{r^2}$  à l'intégrale est orthoradiale (la contribution analogue en électrostatique est radiale).



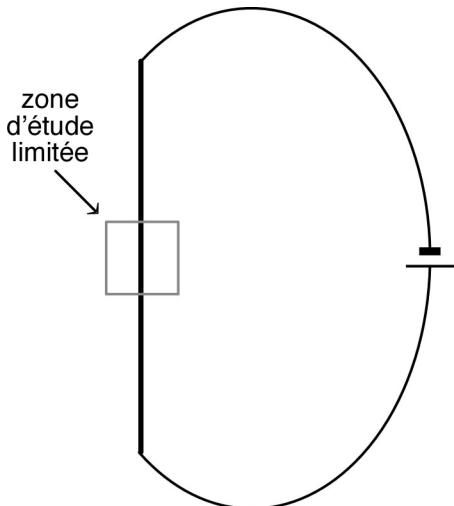
De ce fait, le champ magnétique  $\vec{B}$  est un “pseudo-vecteur” ; c'est-à-dire que, pour une symétrie plane, il est transformé en l'opposé de son “symétrique” géométrique (de même qu'un “vecteur surface”  $\vec{S}$ ).

### 3. Application au calcul du champ magnétique

#### 3.1. Fil rectiligne “infini”

- En plus du problème de “l'infini”, un fil rectiligne infini n'est pas un circuit (fermé) ; a priori, on ne peut donc pas lui appliquer la loi de Biot et Savart.

En réalité, le modèle du fil rectiligne infini représente une portion rectiligne d'un circuit dont on limite l'étude à de faibles distances, de telle sorte que le “reste” (non rectiligne) du circuit ait un effet négligeable.



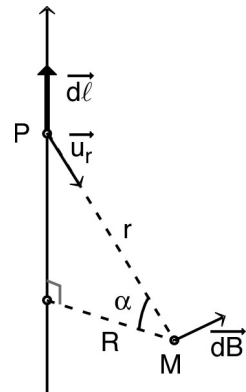
- Pour un tel modèle les invariances, par rotation autour de l'axe et par translation selon l'axe, conduisent à utiliser des coordonnées cylindriques.

L'expression algébrique des coordonnées du champ en un point  $M$  ne peut alors dépendre que de la distance  $R$  entre le fil et le point  $M$ .

En outre, puisque chaque contribution :

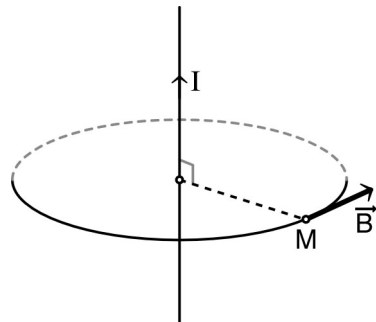
$$d\vec{B} = \frac{\mu_0}{4\pi} \frac{I d\vec{\ell} \times \vec{u}_r}{r^2} = \frac{\mu_0}{4\pi} \frac{I d\ell}{r^2} \cos(\alpha) \vec{u}_\theta$$

est perpendiculaire au plan défini par le fil et  $M$ , il en est de même pour  $\vec{B}$  total.



On peut ainsi écrire en coordonnées cylindriques :  $\vec{B} = B_\theta(R) \vec{u}_\theta$ .

Les lignes de champ sont donc des cercles perpendiculaires au fil et centrés sur lui ; elles sont orientées dans le sens de rotation positif par rapport au sens du courant.



◊ remarque : le fil et  $M$  sont invariants par symétrie selon le plan qu'ils définissent, donc  $\vec{B}$  l'est aussi ; ainsi  $\vec{B} \equiv B_R \vec{u}_R + B_\theta \vec{u}_\theta + B_z \vec{u}_z$  (pseudovecteur représenté par un vecteur) est identique à l'opposé du vecteur symétrique :  $\vec{B} = \mathcal{S}(\vec{B}) \equiv -S(B_R \vec{u}_R + B_\theta \vec{u}_\theta + B_z \vec{u}_z) = -B_R \vec{u}_R + B_\theta \vec{u}_\theta - B_z \vec{u}_z$  ; ainsi  $B_R$  et  $B_z$  doivent être nulles.

- On peut intégrer :  $dB_\theta = d\vec{B} \cdot \vec{u}_\theta = \frac{\mu_0 I}{4\pi} \frac{d\ell \cos(\alpha)}{r^2}$  avec :

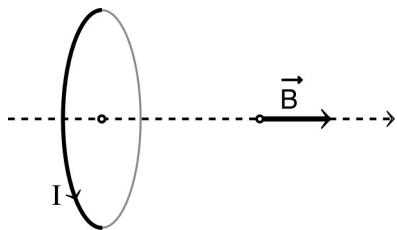
$$r = \sqrt{R^2 + z^2} ; \cos(\alpha) = \frac{R}{r} ; z = R \tan(\alpha) ; d\ell = dz .$$

On obtient :  $B_\theta = \frac{\mu_0 I}{4\pi} \int_{-\infty}^{\infty} \frac{R}{(R^2 + z^2)^{3/2}} dz = \frac{\mu_0 I}{4\pi} \int_{-\pi/2}^{\pi/2} \frac{\cos(\alpha)}{R} d\alpha = \frac{\mu_0 I}{2\pi R} .$

### 3.2. Spire circulaire (champ sur l'axe)

- On cherche le champ  $\vec{B}$  d'une spire circulaire de rayon  $R$  et d'axe  $Ox$ , en se limitant aux points de l'axe.

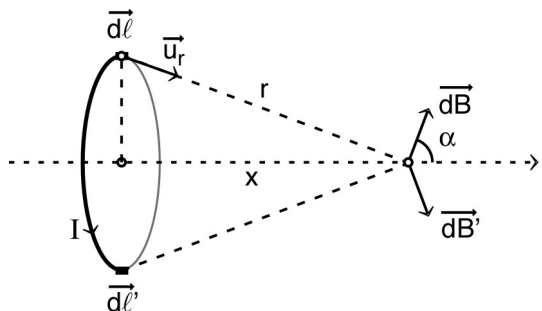
Sur l'axe, le champ est selon  $Ox$  (dans le sens axial positif par rapport au sens de rotation du courant) :  $\vec{B} = B_x \vec{u}_x$ .



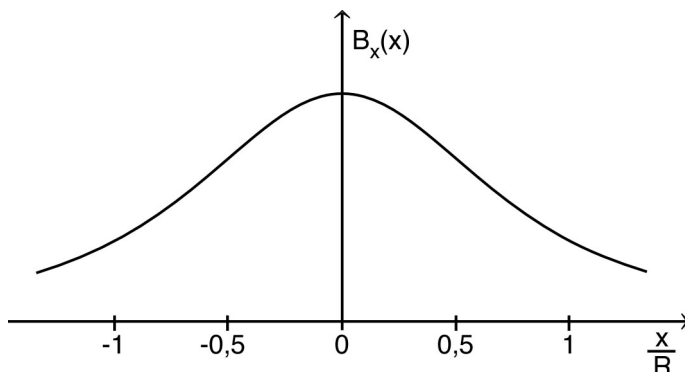
En effet, les contributions

$$d\vec{B} = \frac{\mu_0}{4\pi} \frac{I d\vec{\ell} \times \vec{u}_r}{r^2}$$

de deux éléments  $d\vec{\ell}$  et  $d\vec{\ell}'$  symétriques ont des projections qui se compensent dans les directions perpendiculaires à  $Ox$ .



- En intégrant :  $dB_x = \frac{\mu_0 I d\ell}{4\pi r^2} \cos(\alpha)$  avec  $r = \sqrt{R^2 + x^2}$  ;  $\cos(\alpha) = \frac{R}{r}$  et  $d\ell = R d\theta$  ; on obtient :  $B_x = \frac{\mu_0 I R^2}{2(R^2+x^2)^{3/2}}$ .



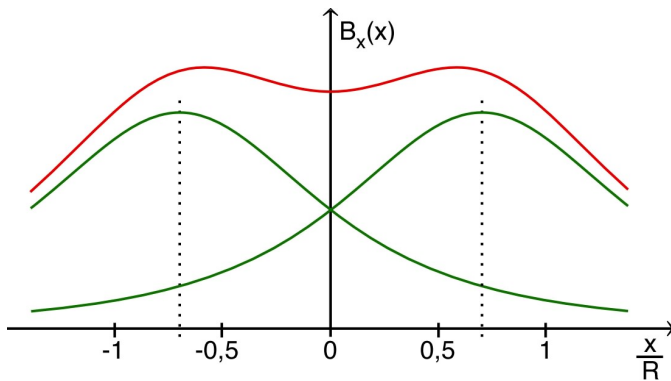
◊ remarque : pour une bobine plate constituée de  $N$  spires, il suffit de multiplier par  $N$  ; on retrouve en particulier au centre de la spire :  $B_x = \frac{\mu_0 N I}{2 R}$ .

◊ remarque : les champs magnétiques des aimants sont dus à des courants analogues au niveau microscopique.

### 3.3. Bobines de Helmholtz

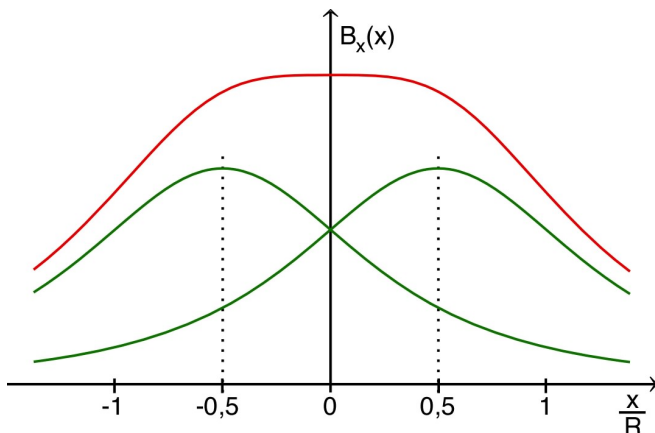
- Pour un ensemble de deux spires circulaires de rayon  $R$  et d'axe  $0x$ , placées en  $x_0$  et  $-x_0$  et parcourues par le même courant  $I$  (de même sens) ; on cherche la valeur de  $x_0$  telle que le champ magnétique au voisinage du centre du dispositif soit le plus uniforme possible (en se limitant aux points de l'axe).

Puisque le champ est selon l'axe :  $B_x = B_{1x} + B_{2x}$ . Par symétrie, le champ est forcément extremum au centre, avec :  $\frac{dB_x}{dx} = 0$  ;  $\frac{d^3B_x}{dx^3} = 0$ . On peut donc écrire :  $B_x(x) \approx B_x(0) + \frac{d^2B_x}{dx^2} \frac{x^2}{2!} + \frac{d^4B_x}{dx^4} \frac{x^4}{4!} + \dots$ .



Pour que le champ soit le plus uniforme possible il faut en plus :  $\frac{d^2B_x}{dx^2} = 0$ , ce qui correspond à  $x_0 = \frac{R}{2}$  (distance  $R$  entre les deux bobines).

Dans ce cas, le champ est d'ailleurs aussi quasi-uniforme radialement. Le dispositif ainsi ajusté (bobines de Helmholtz) est très pratique pour obtenir simplement une zone de champ magnétique quasi-uniforme et facile d'accès.



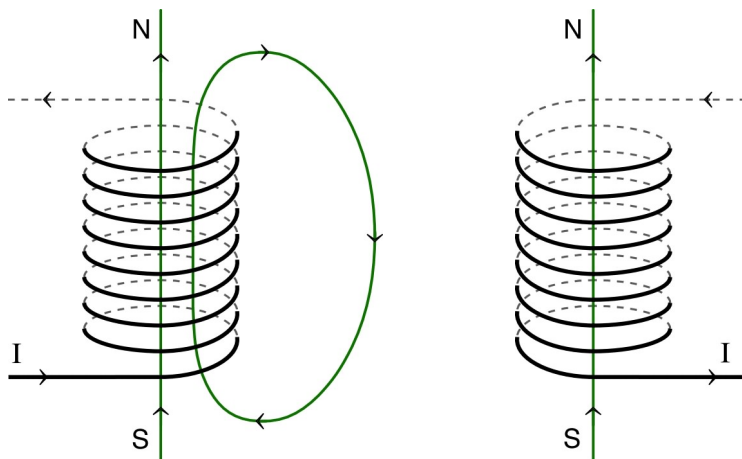
### 3.4. Solénoïde

- Pour calculer le champ sur l'axe d'un solénoïde de  $N$  spires et de longueur  $L$ , on considère une "bobine plate infinitésimale" d'épaisseur  $dx_0$  et comportant  $\frac{N}{L} dx_0$  spires, puis on intègre pour  $x_0$  variant de  $-\frac{L}{2}$  à  $\frac{L}{2}$ .

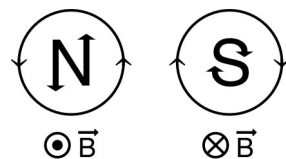
On obtient ainsi : 
$$B_x(x) = \frac{\mu_0 N I}{2 L} \left[ \frac{x + \frac{L}{2}}{\sqrt{R^2 + (x + \frac{L}{2})^2}} - \frac{x - \frac{L}{2}}{\sqrt{R^2 + (x - \frac{L}{2})^2}} \right].$$

En pratique, le solénoïde crée :

- ◊ à l'extérieur un champ semblable à celui d'un barreau aimanté ;
- ◊ à l'intérieur un champ quasi-uniforme, de norme  $B \approx \mu_0 n I$  (indépendante du rayon) avec  $n = \frac{N}{L}$ .

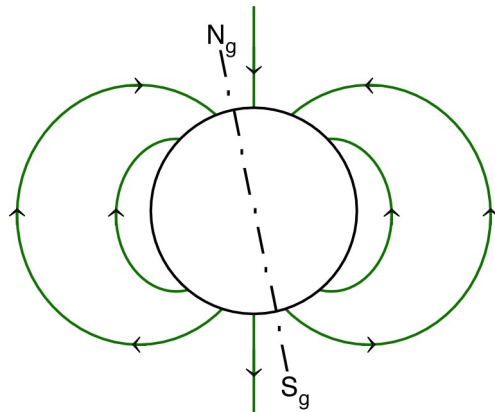


◊ remarque : une bobine parcourue par un courant se comporte comme un aimant dont les pôles nord et sud sont liés au sens de rotation du courant dans les spires ; en particulier l'orientation du champ ne dépend pas du côté par où arrive le courant, mais uniquement du sens de rotation.



◊ remarque : la terre a un pôle magnétique sud au voisinage du pôle géographique nord et réciproquement (mais l'étude de la croûte terrestre montre que les pôles s'inversent tous les quelques millions d'années).

◊ remarque : le champ magnétique terrestre comporte une composante verticale.

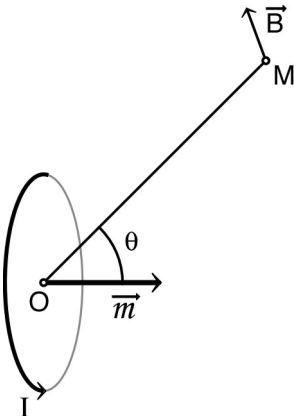


exercices n° I, II et III.

#### 4. Dipôle magnétique

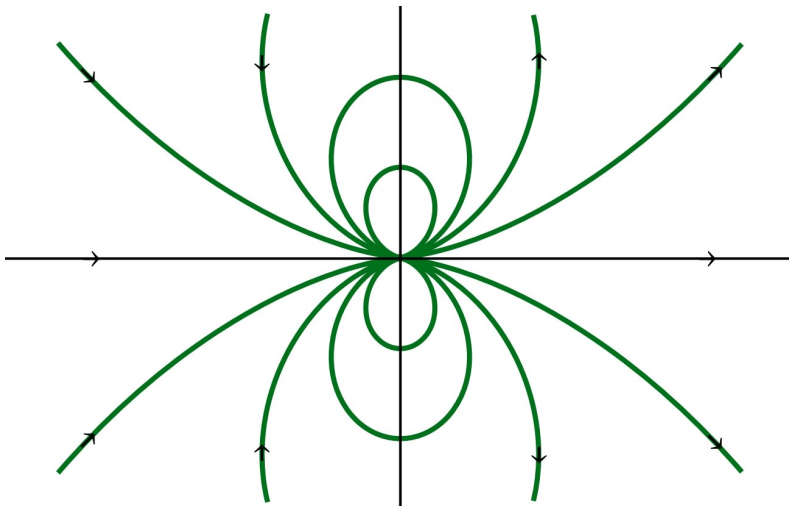
- On appelle "dipôle magnétique" un circuit électrique de type spire (mais non forcément circulaire) de dimension très petite en comparaison de la distance d'observation.

On appelle "moment dipolaire" le "vecteur"  $\vec{m} = I \vec{S}$  (l'unité de base est  $A \cdot m^2$ ) où  $I$  est le courant dans le circuit et  $\vec{S}$  son (pseudo) "vecteur" surface (orienté selon le courant).

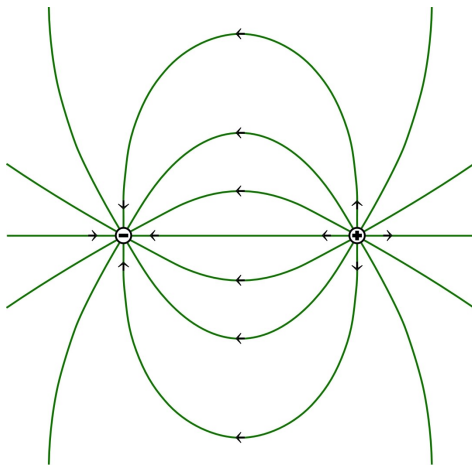


- Le champ magnétique d'une spire circulaire peut s'écrire sous une forme analogue à celle du dipôle électrostatique ; en coordonnées sphériques, d'axe  $Oz$  orienté selon  $\vec{S}$  :  $\vec{B} = B_r(r, \theta) \vec{u}_r + B_\theta(r, \theta) \vec{u}_\theta$  (d'après les symétries).

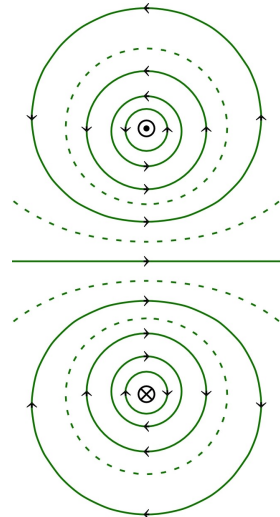
À grande distance :  $B_r \approx \frac{2 \mu_0 m \cos(\theta)}{4\pi r^3}$  et  $B_\theta \approx \frac{\mu_0 m \sin(\theta)}{4\pi r^3}$  ; correspondant à :  $\vec{B} = \frac{\mu_0}{4\pi r^3} [3 (\vec{m} \cdot \vec{u}_r) \vec{u}_r - \vec{m}]$  avec les lignes de champ suivantes.



◊ remarque : ces calculs ne sont toutefois valables que si la taille de la spire est très petite en comparaison de la distance “d’observation”  $r = OM$  ; ils représentent en effet mal le champ à proximité du dipôle (ceci découle des différences fondamentales entre les propriétés de  $\vec{E}$  et  $\vec{B}$  ).



dipôle électrostatique



dipôle magnétique

• De façon analogue au cas électrostatique, la principale action d'un champ  $\vec{B}$  “extérieur” sur un dipôle est la tendance à l'orientation :

◊ la force totale est nulle si  $\vec{B}$  est uniforme ;

◊ il apparaît un moment de force, qui tend à aligner  $\vec{m}$  selon le champ extérieur  $\vec{B}$  :  $\vec{M}_0 = \vec{m} \times \vec{B}$  .

◊ remarque : l'énergie potentielle du dipôle dans le champ extérieur peut s'écrire :  $\mathcal{E}_p = -\vec{m} \cdot \vec{B}$  ; on vérifie ainsi que l'action du moment des forces tend à minimiser  $\mathcal{E}_p$  .

 exercice n° IV.